

BULLETIN DES RELEVÉS NIVOMÉTRIQUES ET DES PROJECTIONS HYDROLOGIQUES DU YUKON

Le 1^{er} avril 2019



Rédigé et publié par :
Direction des ressources en eau
Ministère de l'Environnement

**Yukon**

DÉDICACE

Les éditions de 2019 du *Bulletin des relevés nivométriques et des projections hydrologiques du Yukon* sont dédiées à la mémoire de Ric Janowicz (1952–2018). Hydrologue principal au ministère de l'Environnement du Yukon pendant plus de 35 ans, Ric avait à cœur de faire progresser les connaissances sur l'hydrologie en région nordique. Il a ainsi œuvré à l'élaboration et à la promotion de modèles hydrologiques adaptés aux climats nordiques afin de mieux comprendre la dynamique des débâcles du fleuve et des rivières et les risques associés aux inondations dans les zones habitées.

En ce qui a trait à l'étude de la neige, Ric a présidé à l'importante expansion du réseau des relevés nivométriques au Yukon en établissant plus de 20 nouveaux sites de surveillance permanents à différents endroits du territoire. Ric a également obtenu l'appui nécessaire pour mettre en place, dans des zones difficilement accessibles, plusieurs stations météorologiques équipées de coussins à neige, permettant ainsi de surveiller en temps réel l'accumulation de la couche neigeuse et sa dégradation durant la saison froide. Grâce à ces accomplissements, Ric a largement contribué à l'amélioration de l'efficacité des projections hydrologiques qu'il préparait dans le cadre de son travail au sein de la Direction des ressources en eau.

Nous gardons un excellent souvenir de Ric, de son dévouement sans borne dans son travail, de sa personnalité hors du commun, de son humour et de ses histoires. De surcroît, il demeurera, dans l'esprit de ses collègues, un hydrologue de renommée internationale.



Mention de source : GY

PRÉFACE

Le *Bulletin des relevés nivométriques et des projections hydrologiques du Yukon* est publié trois fois par année – au début de mars, d’avril et de mai – par la Direction des ressources en eau du ministère de l’Environnement. Le bulletin présente un sommaire des conditions météorologiques et de l’écoulement des principaux cours d’eau du Yukon durant l’hiver, ainsi que des mesures de l’épaisseur de la couche de neige et de son équivalent en eau (EEN) provenant de 57 stations. Ces données servent à évaluer les probabilités d’inondations printanières causées par des débâcles ou par un ruissellement abondant dû à la fonte printanière (débordement). Il est à noter que d’autres phénomènes, comme les pluies estivales et la fonte des glaciers, peuvent influencer considérablement les niveaux d’eau maximums annuels dans certains bassins du Yukon.

Le bulletin des relevés nivométriques est présenté dans un nouveau format et il est en constante amélioration grâce aux nouvelles technologies et aux commentaires provenant des utilisateurs et des partenaires. Les conditions météorologiques (températures et précipitations) moyennes de l’automne et de l’hiver sont présentées dans deux cartes couvrant tout le territoire. Une troisième carte présente l’équivalent en eau de la neige (EEN) relatif moyen pour 11 bassins hydrographiques (ou bassins versants). Des données météorologiques et hydrologiques complémentaires pour chaque bassin sont communiquées au moyen d’au plus cinq graphiques, selon la disponibilité des données :

- Figure A : EEN à partir de septembre à un endroit précis du bassin versant, ce qui donne un aperçu de l’évolution du couvert de neige durant l’hiver.
- Figure B : Estimation de l’EEN moyen à la fin du mois, pour l’ensemble du bassin, calculée à partir des relevés nivométriques et comparé aux données historiques, ce qui constitue un indicateur des volumes potentiels de ruissellement au printemps (en tenant compte que la sublimation de la neige, les températures de l’air et la pluie ont également une influence considérable sur le ruissellement).
- Figure C : Précipitations mensuelles moyennes (pluie ou neige), données extraites de stations météorologiques depuis octobre et comparées aux données historiques (normale climatique de 30 ans). Ces renseignements complètent ceux présentés à la figure B.
- Figure D : Degrés-jours de gel cumulés (DJGC, la somme de l’inverse des températures quotidiennes) depuis octobre et comparés aux données historiques, ce qui constitue un indicateur de la rigueur de l’hiver et de l’épaisseur du couvert de glace des rivières affectant le scénario de la débâcle printanière.
- Figure E : Estimation du débit journalier ou niveau d’eau mesurée comparé aux données historiques, ce qui donne un aperçu des conditions hydrologiques du bassin.

On peut obtenir de l’information sur le bulletin, le couvert de neige ou les projections hydrologiques en communiquant avec l’une des personnes suivantes :

Jonathan Kolot

Technologue en hydrologie

867-667-3234

jonathan.kolot@gov.yk.ca

Anthony Bier

Technologue en hydrologie

867-667-3144

anthony.bier@gov.yk.ca

Benoit Turcotte

Hydrologue principal

867-667-3223

benoit.turcotte@gov.yk.ca

Direction des ressources en eau, ministère de l’Environnement

867-667-3171, sans frais (Yukon, Territoires du Nord-Ouest, Nunavut) : 1-800-661-0408, poste 3171

Télécopieur : 867-667-3195 | Courriel : water.resources@gov.yk.ca

Aucun changement n’a été apporté au réseau en 2019. Le présent bulletin, tout comme les publications précédentes, est accessible à l’adresse www.env.gov.yk.ca/snowbulletin.

ISSN 1705-883X

Nous recommandons d’utiliser le titre suivant pour citer le présent document :

Bulletin des relevés nivométriques et des projections hydrologiques du Yukon de 2019, 1^{er} avril 2019.

© Avril 2019

Direction des ressources en eau

Ministère de l’Environnement

Gouvernement du Yukon

C.P. 2703, Whitehorse (Yukon) Y1A 2C6

REMERCIEMENTS

Le *Bulletin des relevés nivométriques* fait partie du Programme des relevés nivométriques du Yukon, qui relève de la Direction des ressources en eau, ministère de l'Environnement, gouvernement du Yukon. D'autres organismes contribuent de manière importante au Programme et à la préparation du bulletin en fournissant des données et de l'information :

- Agent responsable de la collecte des données, Service de la conservation des ressources naturelles, département de l'Agriculture des États-Unis
- Météorologiste, Section de la gestion des feux de forêt, ministère des Services aux collectivités du Yukon, Whitehorse
- Agent responsable, Division des relevés hydrologiques du Canada, Whitehorse
- Ingénieur en gestion des eaux, Société d'énergie du Yukon
- Première nation des Gwitchin Vuntut
- Université McMaster

Organismes collaborant avec Environnement Yukon dans le cadre du Programme des relevés nivométriques :

- Ministère de l'Environnement de la Colombie-Britannique (C.-B.), Division de l'intendance des eaux
- Parcs Canada, parc national et réserve de parc national du Canada Kluane
- Ministère de la Voirie et des Travaux publics du Yukon
- Ministère de l'Énergie, des Mines et des Ressources du Yukon, Direction de la surveillance de la conformité et des inspections
- Ministère de l'Environnement du Yukon, Direction des technologies et de la gestion de l'information
- Gouvernement de la Première nation des Gwitchin Vuntut

AVERTISSEMENT ET LIMITATION DE RESPONSABILITÉ

L'utilisateur comprend et reconnaît qu'il utilise les données à ses propres risques. Il incombe uniquement à l'utilisateur de vérifier l'exactitude, la disponibilité, la pertinence, la fiabilité, la convivialité, l'exhaustivité ou l'actualité des données.

L'utilisateur accepte les données « telles qu'elles sont » et reconnaît que le gouvernement du Yukon ne fait aucune représentation ni ne donne aucune garantie (expresses ou implicites) à l'égard de l'exactitude, de la disponibilité, de la pertinence, de la fiabilité, de la convivialité, de l'exhaustivité ou de l'actualité des données, y compris, sans s'y limiter, des garanties implicites de qualité marchande ou d'adaptation à un usage particulier, et l'absence de contrefaçon.

En ce qui a trait à l'accès aux données, l'utilisateur convient également qu'en aucun cas le gouvernement du Yukon ne sera tenu responsable (ni soumis à une obligation délictuelle ou contractuelle), d'une façon ou d'une autre, envers l'utilisateur ou une autre entité juridique pour ce qui est de l'exactitude, de la disponibilité, de la pertinence, de la fiabilité, de la convivialité, de l'exhaustivité ou de l'actualité des données, y compris, sans s'y limiter, d'une perte de revenu ou de profit, ou d'un dommage direct, indirect, spécial, fortuit ou immatériel découlant de l'utilisation des données ou lié à une telle utilisation.

CONDITIONS MÉTÉOROLOGIQUES ET COUVERT DE NEIGE SUR LE TERRITOIRE DU YUKON

L'automne et l'hiver 2018-2019 ont été beaucoup plus chauds que la moyenne historique¹ enregistrée sur l'ensemble du territoire, hormis le mois de février, qui a été plus froid que la moyenne dans presque tout le Yukon. Les précipitations ont été inférieures ou bien inférieures à la moyenne historique à cause de l'effet combiné de crêtes persistantes en altitude et d'une masse d'air arctique froid et sec.

Décembre

Encore une fois, les températures du Yukon ont considérablement fluctué sous l'influence de crêtes chaudes et d'air arctique frais en alternance. Au début de la deuxième semaine, une vague de chaleur a fait grimper les températures au-dessus du point de congélation dans le nord aussi loin que Dawson, tandis qu'une masse d'air arctique a fait chuter les températures dans toutes les régions juste avant Noël. À la fin du mois, le thermomètre est remonté au-dessus du point de congélation dans le sud-ouest du Yukon. De forts écarts de précipitations ont également été enregistrés, le Grand Nord et les régions du sud-ouest du Yukon recevant des précipitations supérieures à la moyenne, alors que le reste du territoire recevait des précipitations bien inférieures à la moyenne.

Janvier

Au début de janvier, un froid extrême a recouvert le centre et le nord du Yukon, les températures chutant autour de -45 °C. Dans le sud du territoire, la température était variable, le mois se terminant avec une autre hausse au-dessus du point de congélation. Une fois de plus, les températures étaient supérieures à la moyenne dans la majeure partie du territoire, à l'exception de Mayo, où des conditions proches de la moyenne historique ont été observées. Les précipitations ont été variables, Old Crow se situant à 150 % de la moyenne, Whitehorse à 120 % et la plupart des autres stations ayant enregistré des données bien en deçà de la moyenne, avec un minimum de 8 %.

Février

Février a été marqué par du temps froid et dégagé sous l'effet de crêtes en altitude et de poussées d'air arctique. Même si la température a souvent grimpé durant le jour pour atteindre la moyenne saisonnière, les minimums de température nocturne ont oscillé entre -25 °C et -40 °C. Hormis Old Crow et certaines sections de la route Dempster, la température en février a été entre 2 et 5 °C plus froide que la moyenne. Les conditions froides et dégagées prévalant, les quantités de précipitations ont été faibles, quoique Whitehorse et Teslin aient presque atteint la moyenne historique grâce à une tempête qui a balayé la région à la fin du mois.

Mars

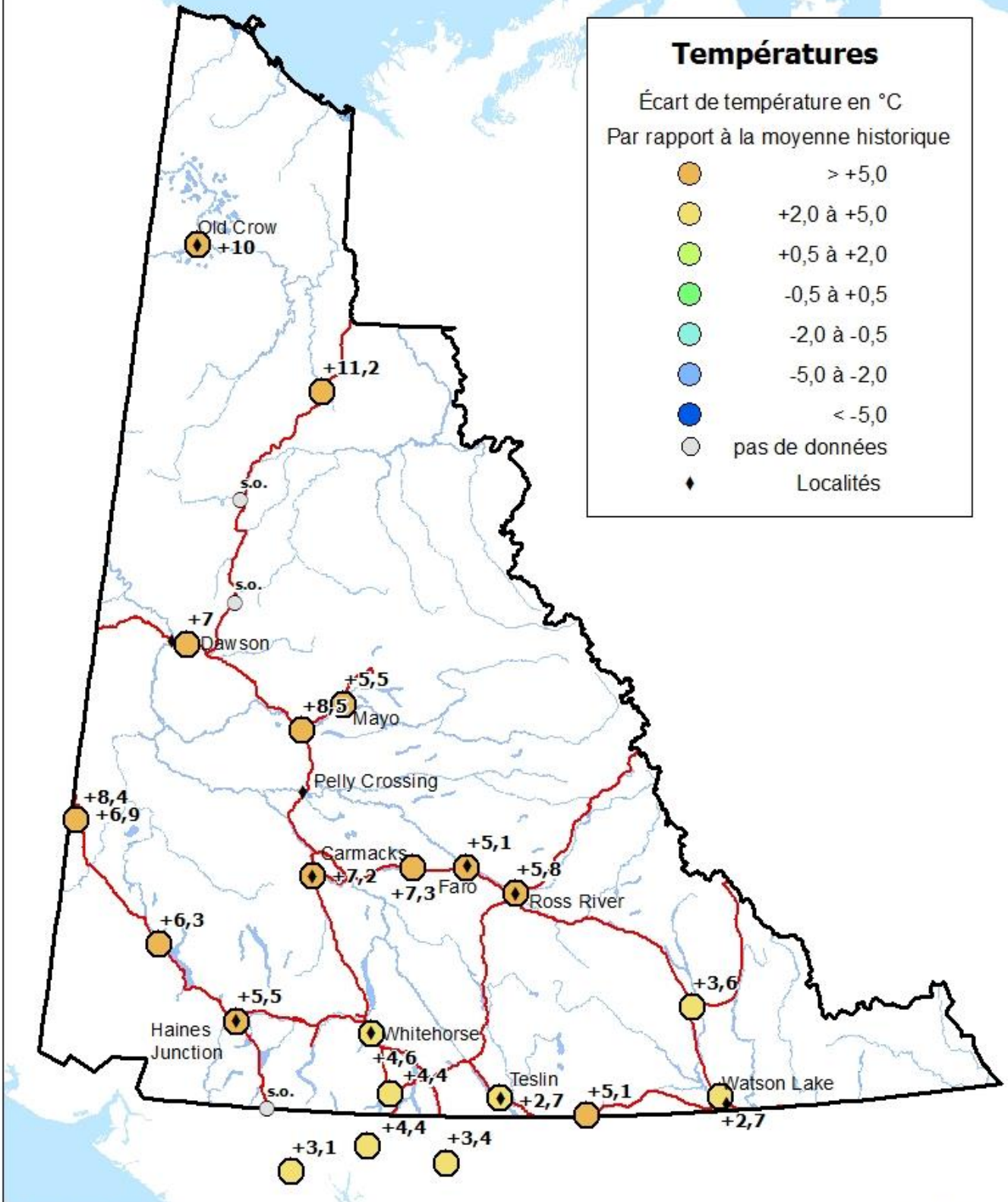
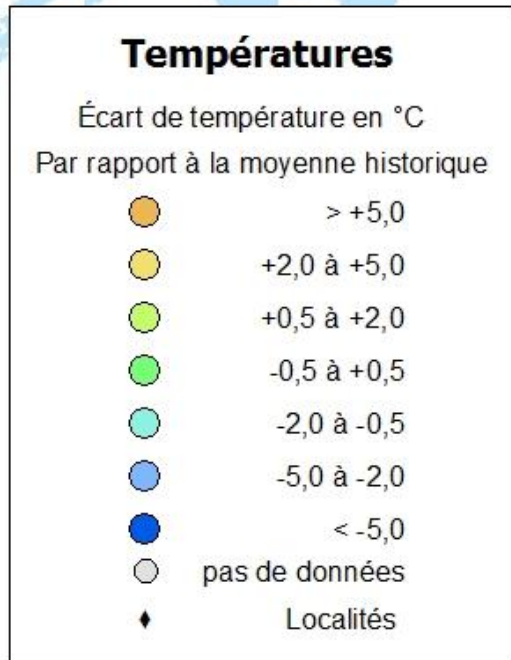
La transition aux conditions printanières s'est faite presque un mois plus tôt dans une grande partie du territoire. En effet, on a enregistré des températures quotidiennes très élevées et, dans bien des cas, records dès le début de la deuxième semaine de mars, et ce, jusqu'à la fin du mois. Les maximums diurnes élevés ont été exacerbés par des températures minimales nocturnes qui, à l'occasion, ne chutaient pas sous le point de congélation, ce qui a accéléré la fonte du couvert de neige déjà aminci dans la grande partie du centre et du

¹ Les données historiques en matière de température, de précipitations, d'équivalent en eau de la neige, de débit et de niveau d'eau n'ont pas toujours été compilées sur une période assez longue pour établir une « normale », soit des données s'étalant sur 30 ans. En conséquence, dans le présent document, il est fait état d'une moyenne historique ou, tout simplement, d'une moyenne. Les données historiques étudiées dans le cadre du présent bulletin sont toujours suffisamment étendues dans le temps pour être représentatives des conditions hydrométéorologiques récentes.

sud du Yukon. Les températures dépassaient la normale de 5,8 °C, en moyenne, pour le mois de mars. Les précipitations enregistrées étaient bien en deçà de la normale historique dans le centre et le centre-sud du Yukon, près de la normale dans les régions de Dawson et d'Old Crow, et bien au-dessus de la moyenne arithmétique à Haines Junction et à la baisse à la frontière avec l'Alaska, surtout attribuable à une violente tempête survenue le 18 mars.

Anomalies des températures - mars 2019

Territoire du Yukon



Map ID: ENV.522.TMP.2019-04-01

© 2019 Environment Yukon

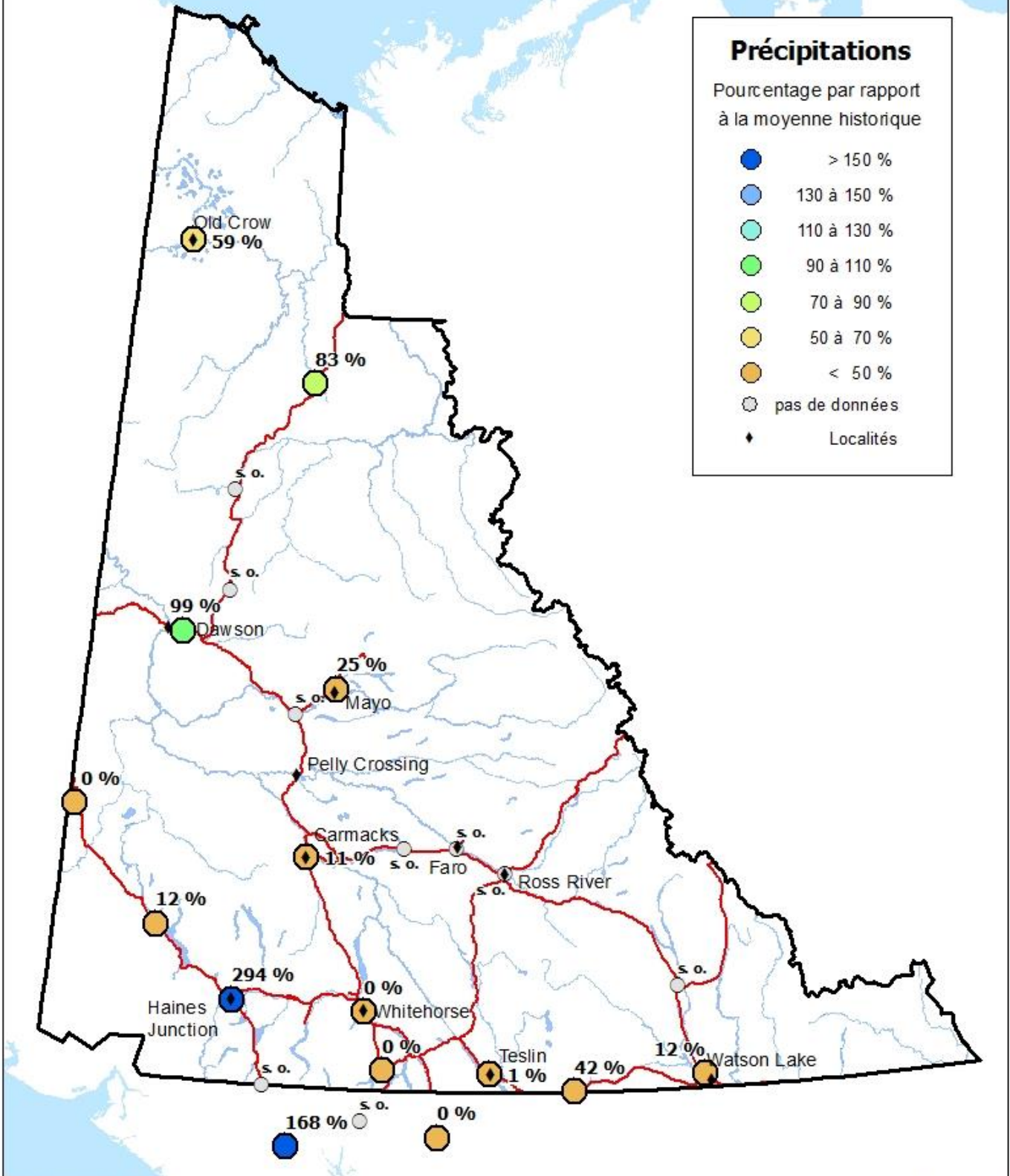
Précipitations - mars 2019

Territoire du Yukon

Précipitations

Pourcentage par rapport à la moyenne historique

- > 150 %
- 130 à 150 %
- 110 à 130 %
- 90 à 110 %
- 70 à 90 %
- 50 à 70 %
- < 50 %
- pas de données
- ◆ Localités

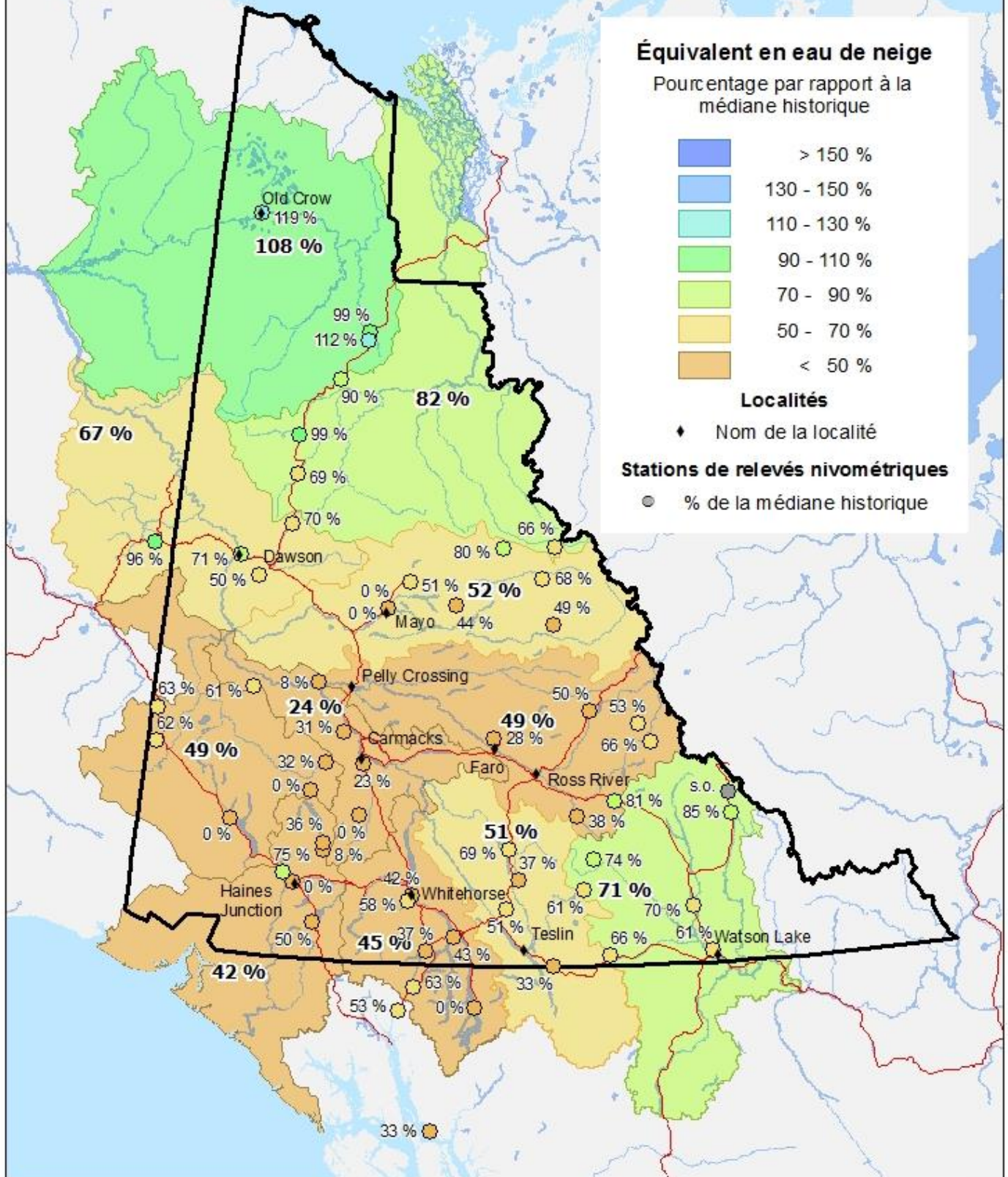


Map ID: ENV.522.PPT.2019-04-01

© 2019 Environment Yukon

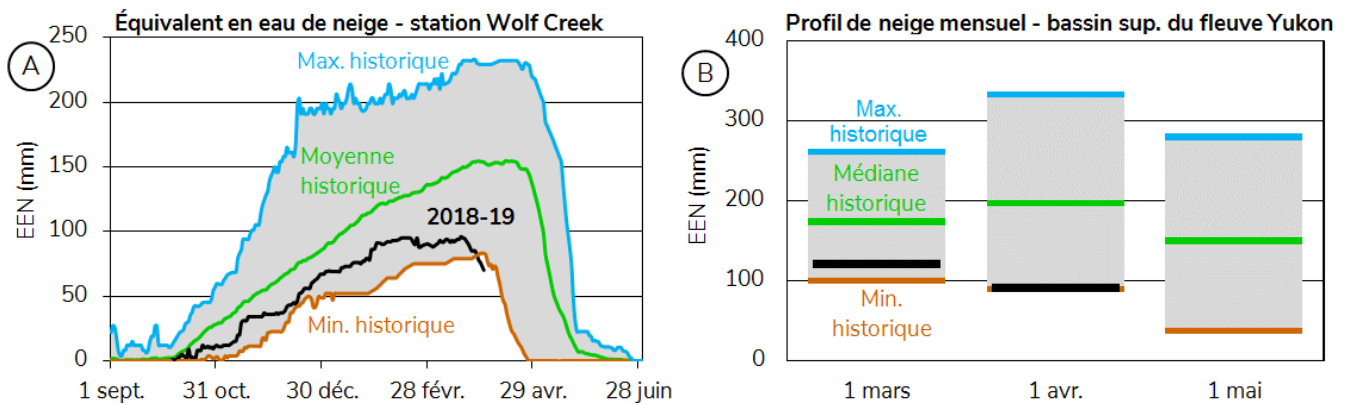
Équivalent en eau de la neige – 1^{er} avril 2019

Territoire du Yukon

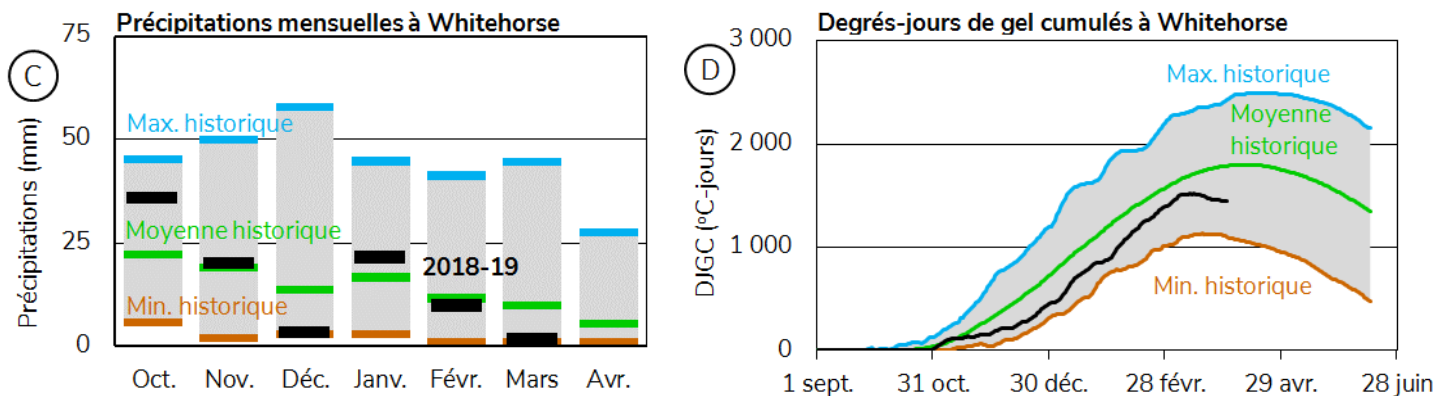


BASSIN SUPÉRIEUR DU FLEUVE YUKON (LACS DU SUD/WHITEHORSE)

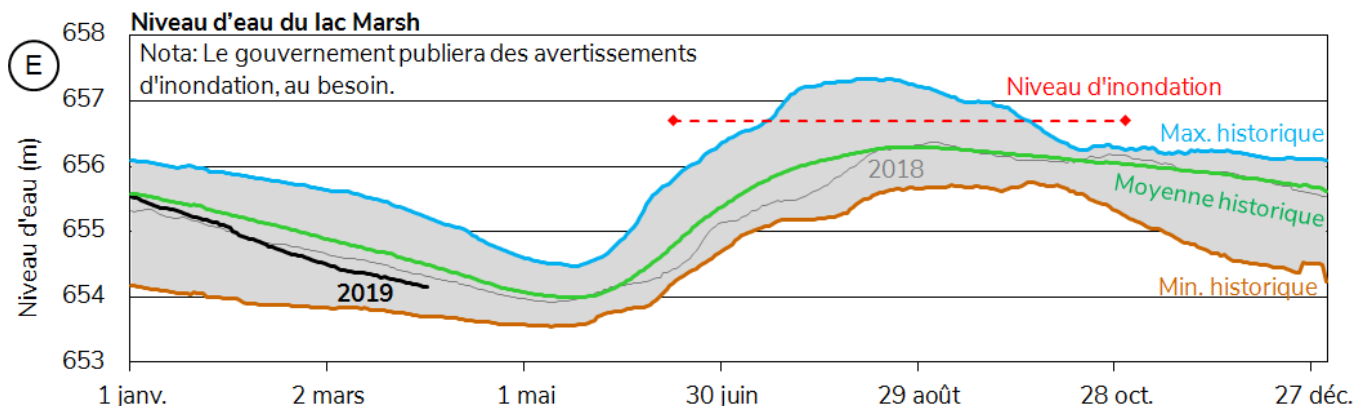
À la station subalpine Wolf Creek, les mesures indiquent que l'équivalent en eau de neige (EEN) est à **39 %** de la **moyenne historique**, **en deçà du minimum historique** (figure A). La moyenne de l'EEN dans le bassin supérieur du fleuve Yukon est estimée à **45 %** de la **médiane historique**, soit **91 mm** en date du 1^{er} avril (figure B).



Les données météorologiques enregistrées à l'aéroport de Whitehorse durant l'automne et l'hiver font état de précipitations cumulatives totales **près de la moyenne** le 1^{er} mars, tandis que les précipitations en mars étaient **sous la moyenne**, à 0 mm (figure C). Les degrés-jours de gel cumulés (DJGC) étaient **en deçà** de la **moyenne**, à 1 450 DJGC, ce qui correspond à un hiver **doux** (figure D). Les températures chaudes de mars ont entraîné une baisse des DJGC et une débâcle printanière précoces.

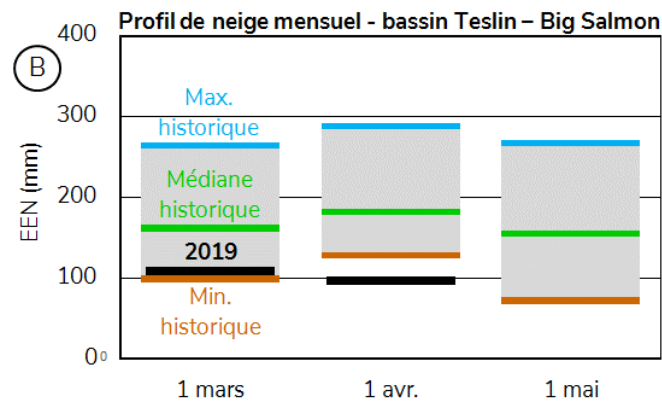


L'élévation du niveau d'eau (par rapport au niveau de la mer) du lac Marsh se situe actuellement à 0,3 m **en deçà** de la **moyenne historique** (figure E). Il est trop tôt dans la saison pour établir si le niveau d'eau de **2019** sera élevé, mais la couverture de neige **bien en deçà** de la **moyenne** et le **bas** niveau d'eau portent à croire que les **probabilités d'inondations cet été** sont **très faibles**.

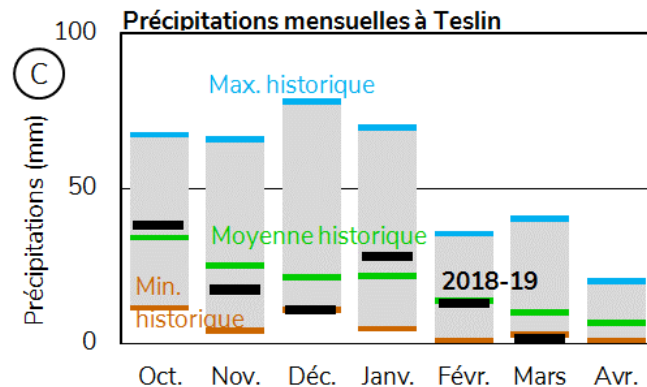


BASSIN DE LA RIVIÈRE TESLIN

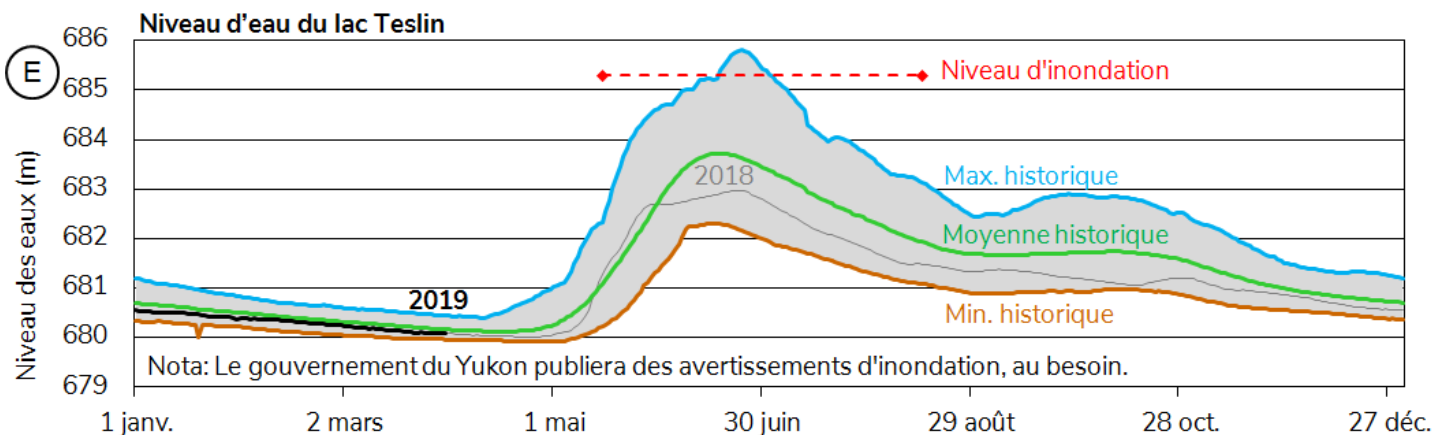
La moyenne de l'EEN dans le bassin de la rivière Teslin est estimée à **51 %** de la **médiane historique**, soit **96 mm** en date du 1^{er} avril, établissant un nouveau minimum absolu (Figure B).



Les précipitations mensuelles enregistrées à Teslin durant l'automne et l'hiver indiquent des précipitations cumulatives **sous la moyenne** et un nouveau minimum absolu pour le mois de mars, soit moins de 1 mm (figure C).

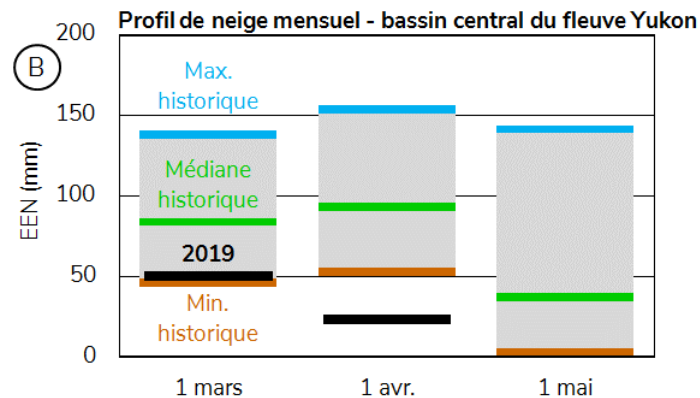


L'élévation du niveau d'eau (par rapport au niveau de la mer) du lac Teslin se situe actuellement près de la **moyenne historique** (figure E). Il est trop tôt dans la saison pour établir si le niveau d'eau de **2019** sera élevé, mais l'accumulation de neige **bien en deçà** de la **moyenne** et le niveau d'eau **près de la moyenne** portent à croire que les **probabilités d'inondation cet été** sont **faibles**.

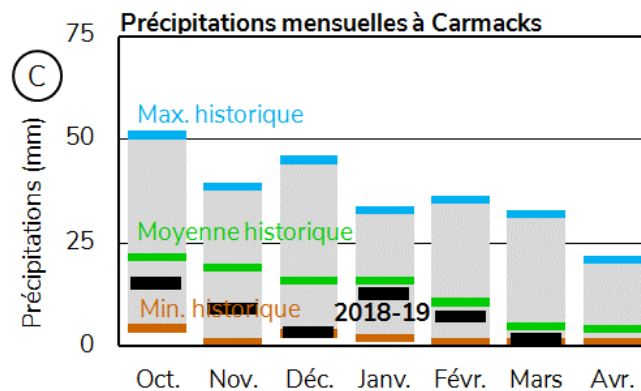


BASSIN CENTRAL DU FLEUVE YUKON (RÉGION DE CARMACKS)

La moyenne de l'EEN dans le bassin central du fleuve Yukon est estimée à **24 %** de la **médiane historique**, soit **23 mm** en date du 1^{er} avril, établissant un nouveau minimum absolu (figure B). Le 1^{er} avril, de grandes sections du bassin central du fleuve Yukon n'étaient plus recouvertes de neige.

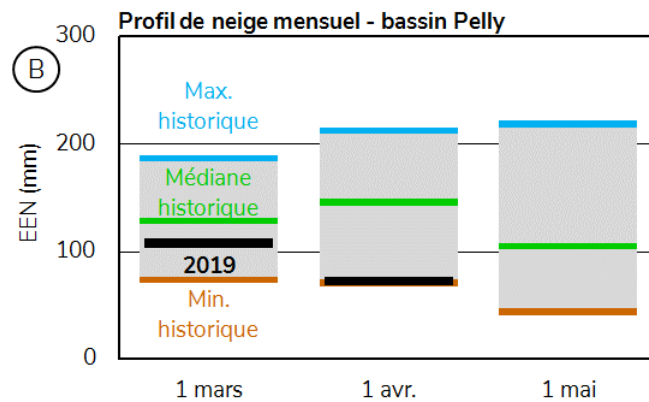


Les précipitations mensuelles enregistrées à Carmacks durant l'automne et l'hiver sont toutes **inférieures** à la **moyenne** mensuelle, y compris des données près d'un minimum historique en mars (figure C).

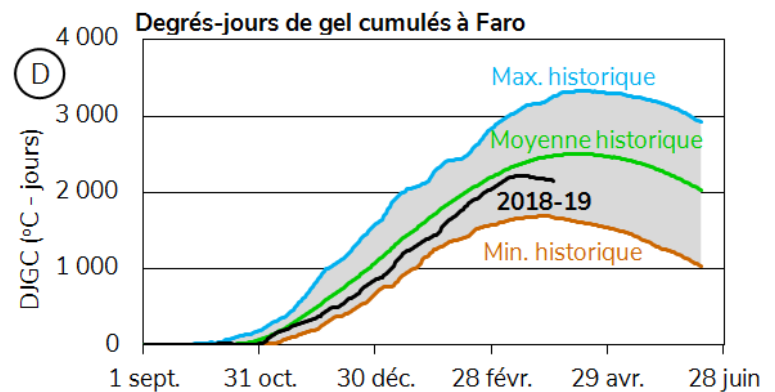
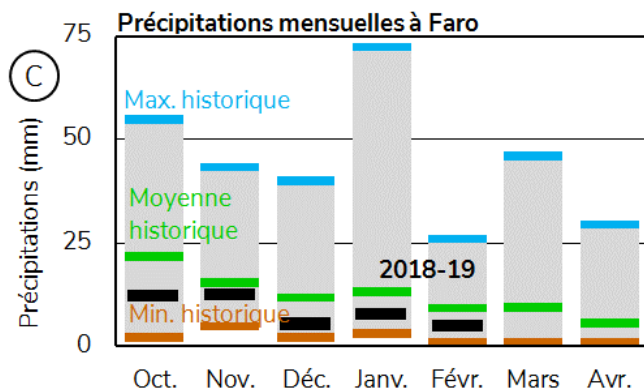


BASSIN DE LA RIVIÈRE PELLY

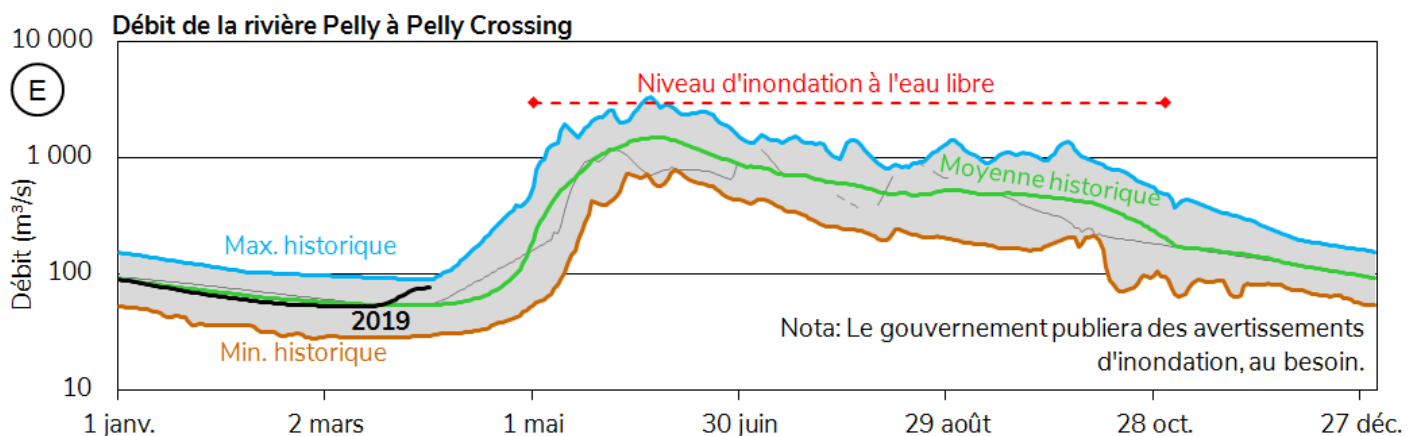
La moyenne de l'EEN dans le bassin de la rivière Pelly est estimée à **49 %** de la **médiane historique**, soit **72 mm** en date du 1^{er} avril (figure B).



Les précipitations mensuelles enregistrées à Faro durant l'automne et l'hiver sont toutes **sous** la **moyenne** (figure C). Les données sur les précipitations pour Faro en mars ne sont pas disponibles, et Ross River n'a reçu aucune précipitation (0 mm). Les degrés-jours de gel cumulés (DJGC) sont **en deçà** de la **moyenne**, soit à 2 160 DJGC, ce qui correspond à un hiver **doux** (figure D). Les températures chaudes de mars ont entraîné une baisse des DJGC et une débâcle printanière précoces.

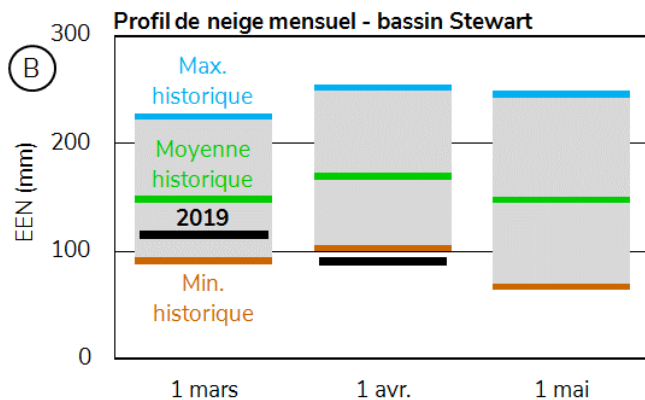
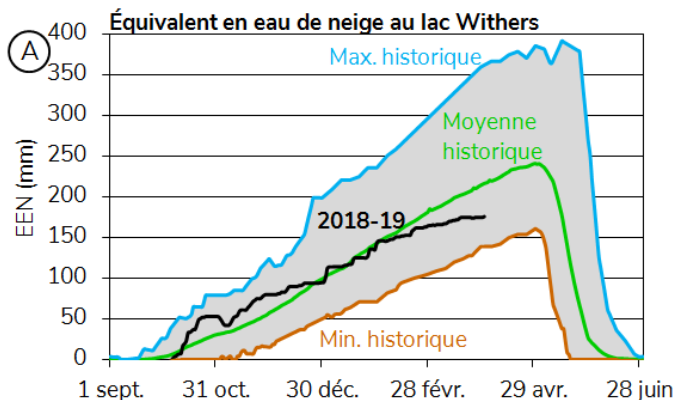


Le débit estimé de la rivière Pelly à Pelly Crossing s'élève actuellement **au-dessus** de la **moyenne historique**, ce qui est causé par une fonte précoce (figure E). L'accumulation de neige **bien moindre** que la **moyenne** porte à croire que le **volume de la crue printanière** pourrait être **plus faible** que la **moyenne**. Le débit de pointe printanier dépendra du taux de fonte de la neige résiduelle et de la pluviosité, mais, actuellement, les **probabilités d'inondations ce printemps** sont **faibles**.

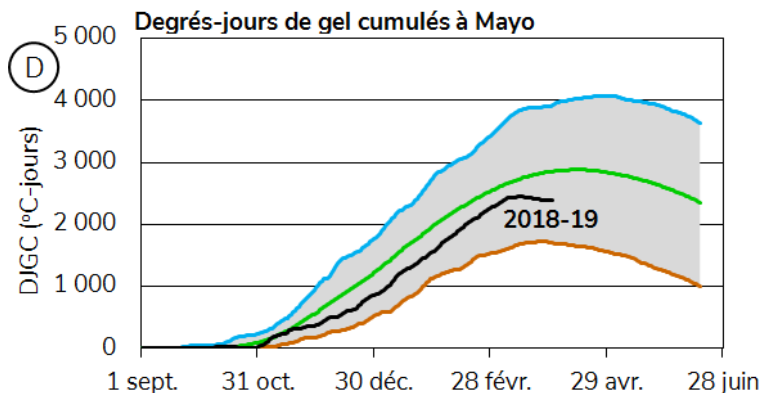
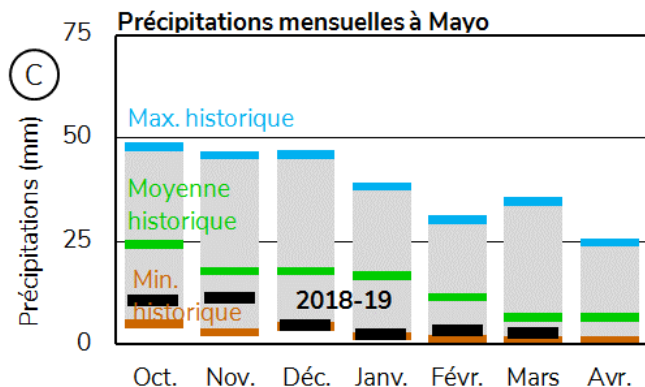


BASSIN DE LA RIVIÈRE STEWART

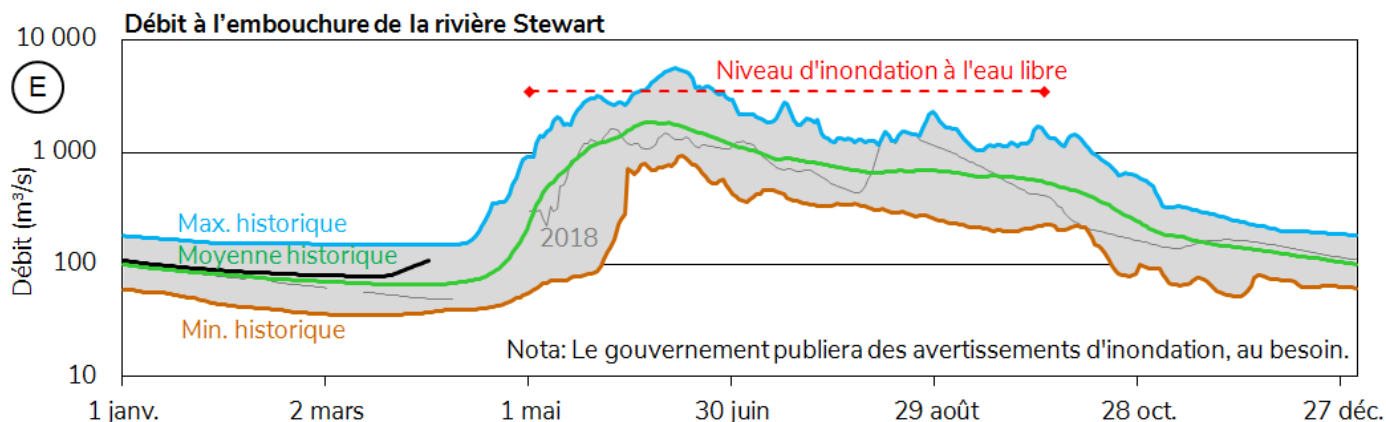
À la station météorologique Withers Lake, les mesures indiquent que l'équivalent en eau de la neige (EEN) est à **81 %** de la **moyenne historique** (figure A). La moyenne de l'EEN dans le bassin de la rivière Stewart n'est estimée qu'à **52 %** de la **médiane historique**, soit **90 mm** en date du 1^{er} avril, établissant un nouveau minimum absolu (Figure B).



Les précipitations mensuelles enregistrées à l'aéroport de Mayo durant l'automne et l'hiver sont toutes **sous** la **moyenne**, y compris durant le mois de mars (figure C). Les degrés-jours de gel cumulés (DJGC) sont **en deçà** de la **moyenne**, soit à 2 390 DJGC, ce qui correspond à un hiver **doux** (figure D). Les températures chaudes de mars ont entraîné une baisse des DJGC et une débâcle printanière précoces.

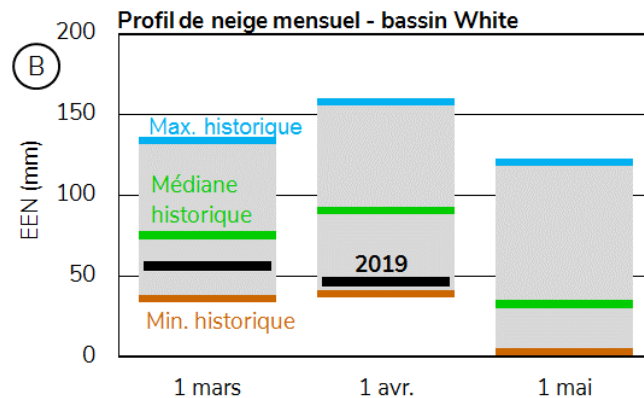


Le débit estimé à l'embouchure de la rivière Stewart a augmenté **bien au-dessus** de la **moyenne historique** (figure E). L'accumulation de neige **bien moindre** que la **moyenne** porte à croire que le **volume de la crue printanière** pourrait être **inférieur** à la **moyenne**. Le débit de pointe printanier dépendra de taux de fonte de la neige résiduelle et de la pluviosité, mais, actuellement, les **probabilités d'inondations ce printemps** sont **faibles**.

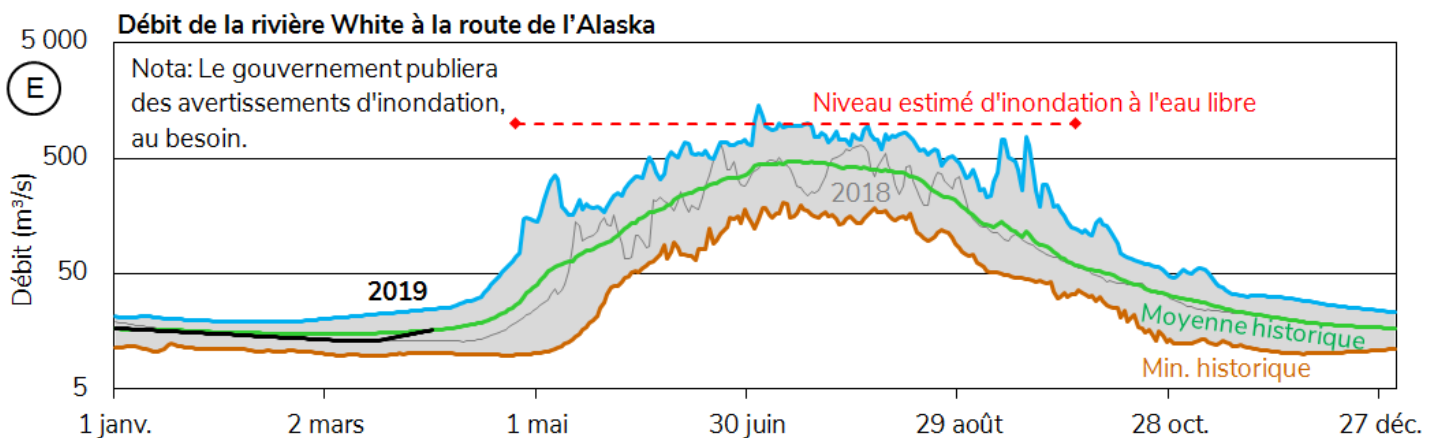


BASSIN DE LA RIVIÈRE WHITE

La moyenne de l'EEN dans le bassin de la rivière White est estimée à **71 %** de la **médiane historique**, soit **56 mm** en date du 1^{er} avril (figure B).

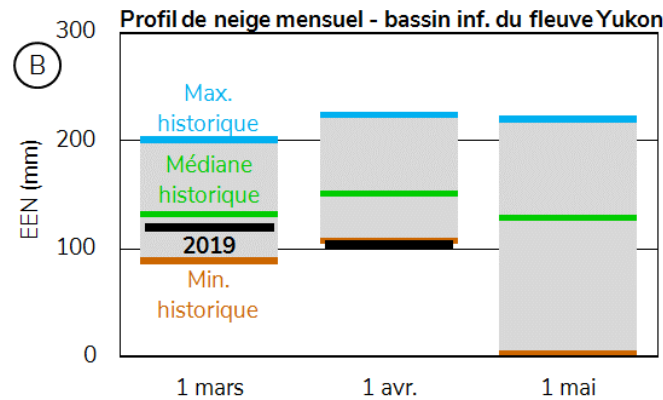


Le débit estimé de la rivière White à la route de l'Alaska est actuellement **près de la moyenne historique** (figure E). Les débits élevés dans ce bassin versant sont surtout attribuables à la fonte de la neige en montagne et des glaciers, laquelle est grandement influencée par les températures et les précipitations estivales. L'accumulation de neige **bien moindre** que la **moyenne** porte actuellement à croire que le **volume de la crue printanière et estivale** pourrait être **inférieur** à la **moyenne**.

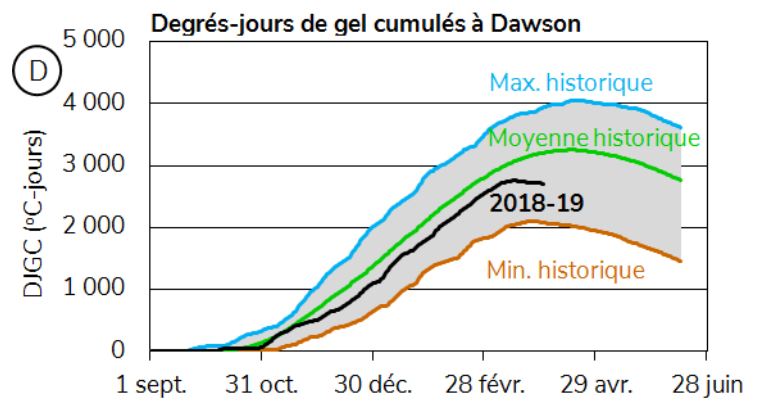
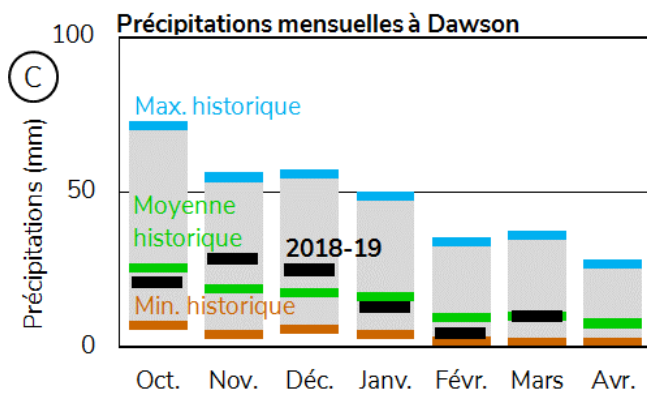


BASSIN INFÉRIEUR DU FLEUVE YUKON (RÉGION DE DAWSON)

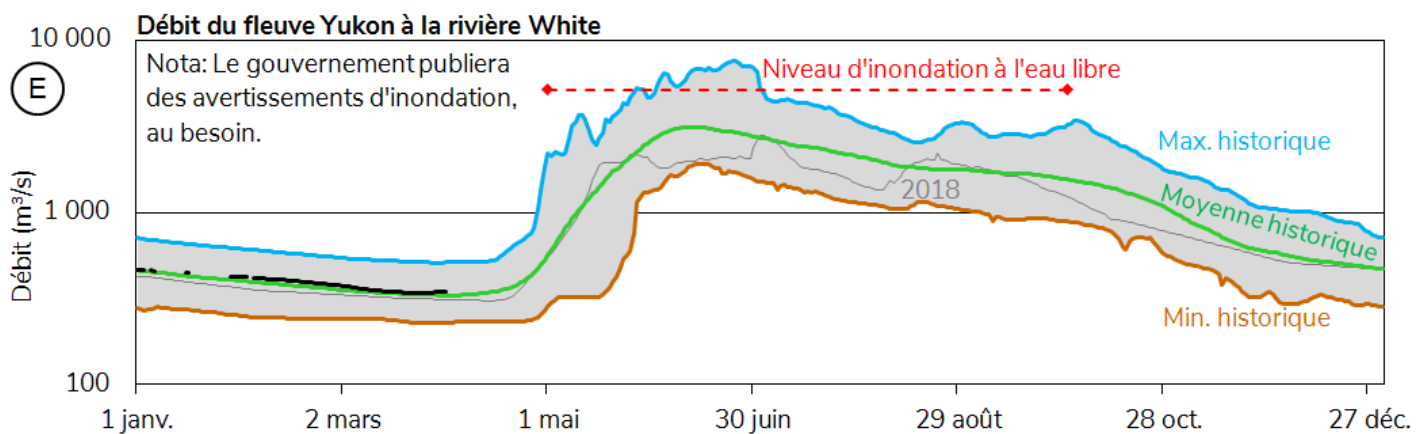
La moyenne de l'EEN dans le bassin inférieur du fleuve Yukon est estimée à **67 %** de la **médiane historique**, soit **103 mm** en date du 1^{er} avril, établissant un nouveau minimum historique (figure B).



Les précipitations mensuelles enregistrées à l'aéroport de Dawson durant l'automne et l'hiver sont généralement **près de la moyenne**, y compris le mois de mars (figure C). Les degrés-jours de gel cumulés (DJGC) sont **en deçà** de la **moyenne**, soit à 2 710 DJGC, ce qui correspond à un **hiver plus doux que la moyenne** (figure D). Les températures chaudes de mars ont entraîné une baisse des DJGC et une dégradation du couvert de glace exceptionnellement précoces dans le fleuve Yukon et la rivière Klondike.

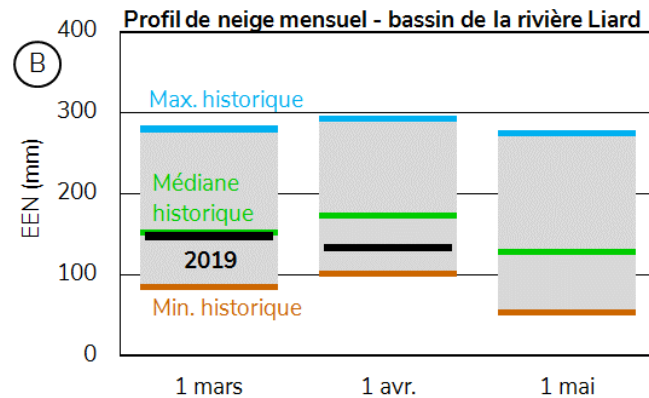


Le débit estimé du fleuve Yukon est actuellement **près de la moyenne historique** (figure E). L'accumulation de neige **bien moindre** que la **moyenne** dans tous les bassins en amont porte à croire que le **volume de la crue printanière** pourrait être **faible**. Le débit de pointe printanier dépendra du taux de fonte de la neige résiduelle et de la pluviosité, mais, actuellement, les **probabilités d'inondations ce printemps** sont **faibles**. Actuellement, **l'intensité de la débâcle printanière** dans le fleuve Yukon s'annonce **faible** (donnée qui sera mise à jour régulièrement).

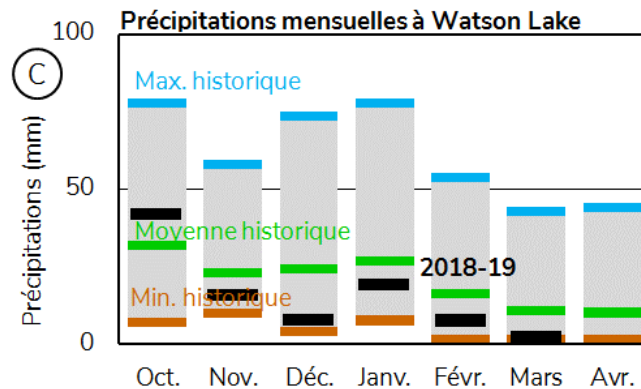


BASSIN DE LA RIVIÈRE LIARD

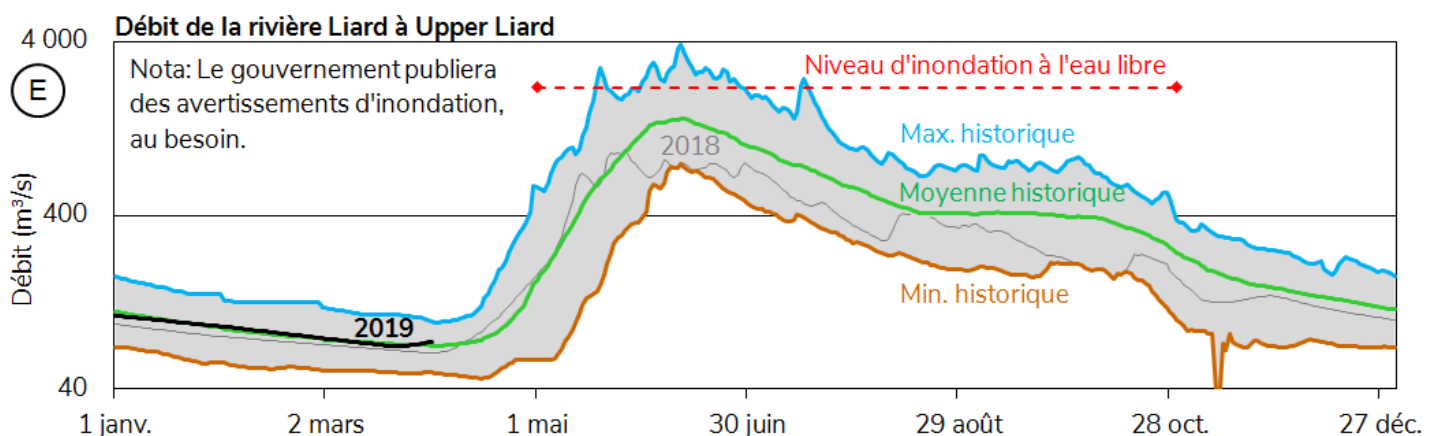
La moyenne de l'EEN dans le bassin de la rivière Liard est estimée à **75 %** de la **médiane historique**, soit **133 mm** en date du 1^{er} avril (figure B).



Les précipitations mensuelles enregistrées à l'aéroport de Watson Lake durant l'automne et l'hiver sont globalement **inférieures** aux valeurs mensuelles **moyennes**, y compris un mois de mars **bien en deçà** de la **moyenne** (figure C).

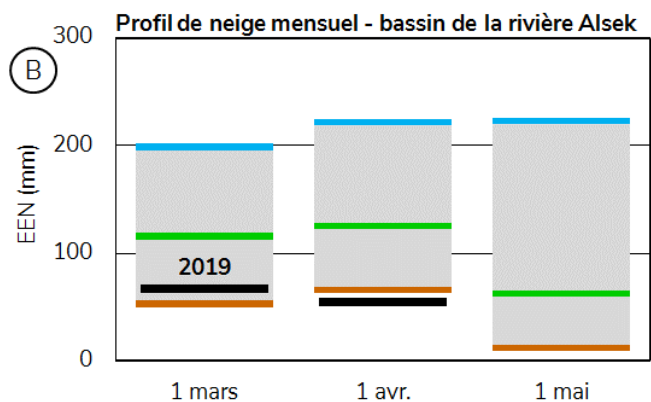


Le débit estimé de la rivière Liard à Upper Liard est actuellement **près de la moyenne historique** (figure E). L'accumulation de neige **sous la moyenne** et le débit **près de la moyenne** portent à croire que le **volume de la crue printanière** pourrait se situer **légèrement sous** la **moyenne**. Le débit de pointe printanier dépendra du taux de fonte de la neige résiduelle et de la pluviosité, mais, actuellement, les **probabilités d'inondations ce printemps** sont **dans la moyenne**.

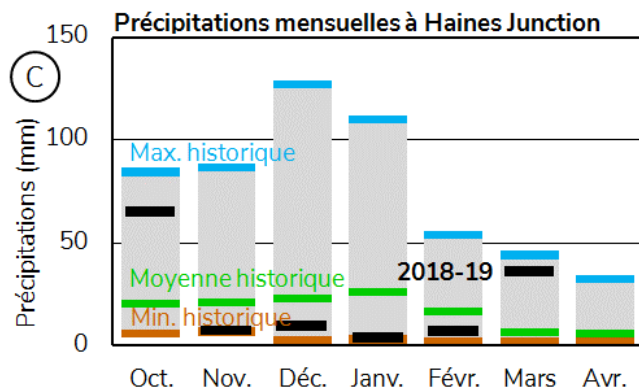


BASSIN DE LA RIVIÈRE ELSEK

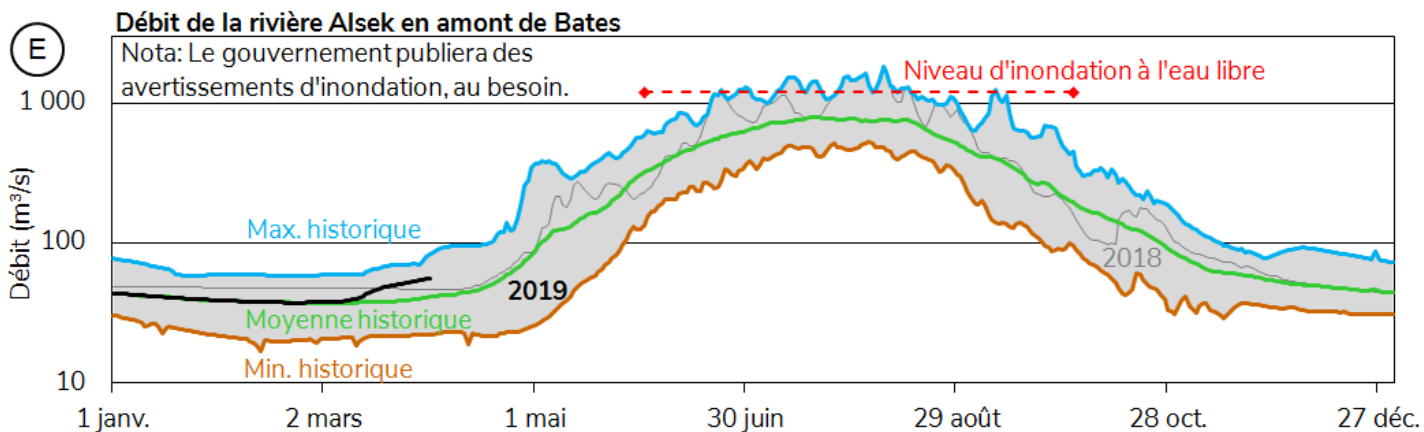
La moyenne de l'EEN dans le bassin de la rivière Alsek est estimée à **42 %** de la **médiane historique**, soit **54 mm** en date du 1^{er} avril, établissant un nouveau minimum absolu (figure B).



Les précipitations mensuelles enregistrées à Haines Junction étaient toutes **inférieures** aux valeurs mensuelles **moyennes** hivernales jusqu'en mars, qui a reçu des précipitations bien **au-dessus** de la **moyenne** (figure C). Les précipitations en basse altitude sont surtout tombées sous forme de pluie.

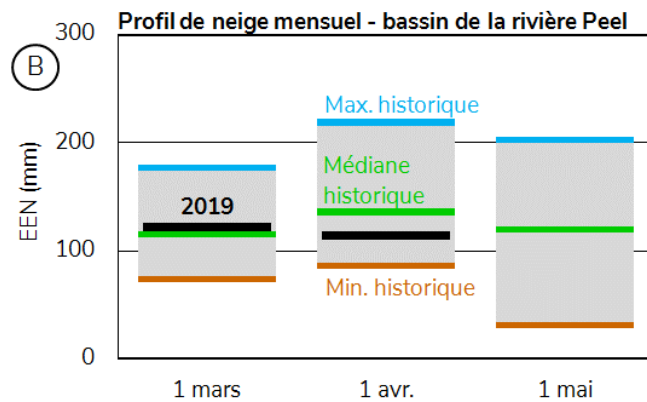


Le débit estimé de la rivière Alsek est actuellement bien **au-dessus de la moyenne historique** (figure E). Les débits élevés dans ce bassin versant dépendent surtout de la fonte de la neige en montagne et des glaciers, laquelle est grandement influencée par les températures et les précipitations estivales. En conséquence, les données sur la neige présentées ci-dessus ne sont que des indicateurs partiels des débits estivaux possibles.

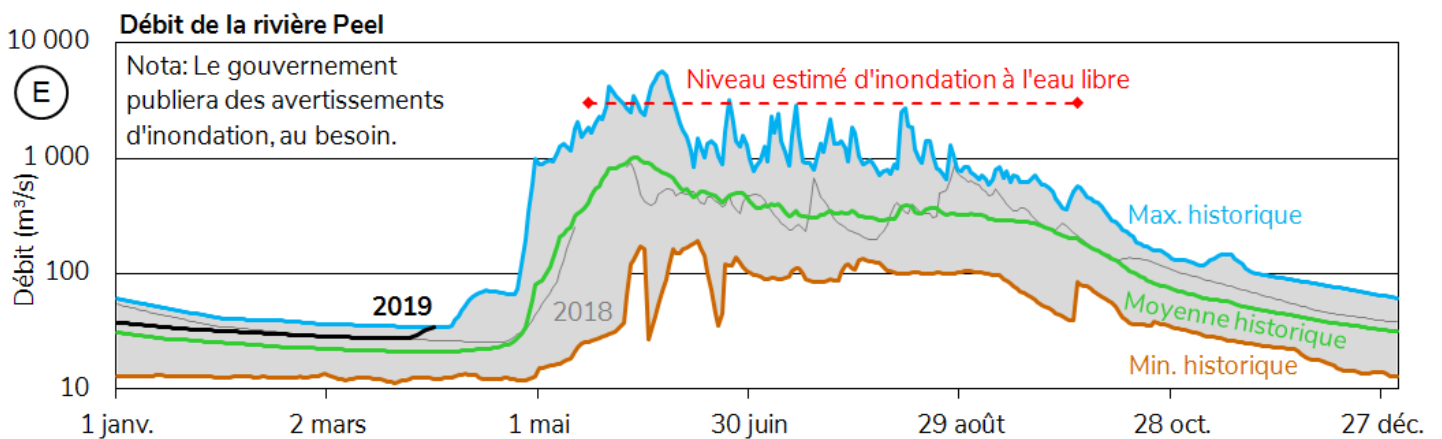


BASSIN DE LA RIVIÈRE PEEL

La moyenne de l'EEN dans le bassin de la rivière Peel est estimée à **82 %** de la **médiane historique**, soit **114 mm** en date du 1^{er} avril (figure B).

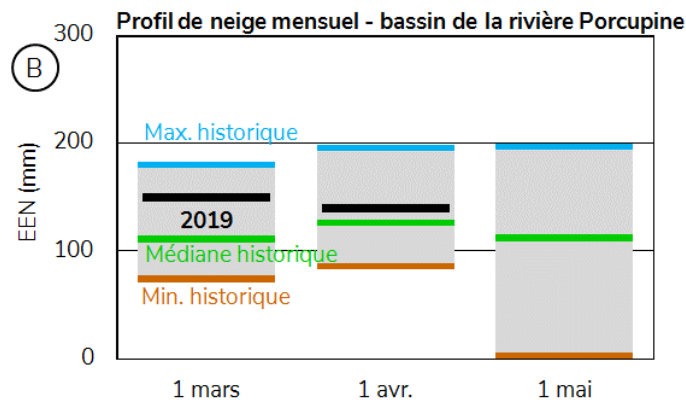


Le 1^{er} avril, le débit estimé de la rivière Peel était **au-dessus du maximum historique** (figure E). Il est trop tôt dans la saison pour établir si les niveaux d'eau de **2019** seront élevés, mais l'accumulation de neige près de la **moyenne** et les conditions hydrologiques actuelles portent à croire que les **probabilités d'inondations ce printemps** seront vraisemblablement **dans la moyenne**.

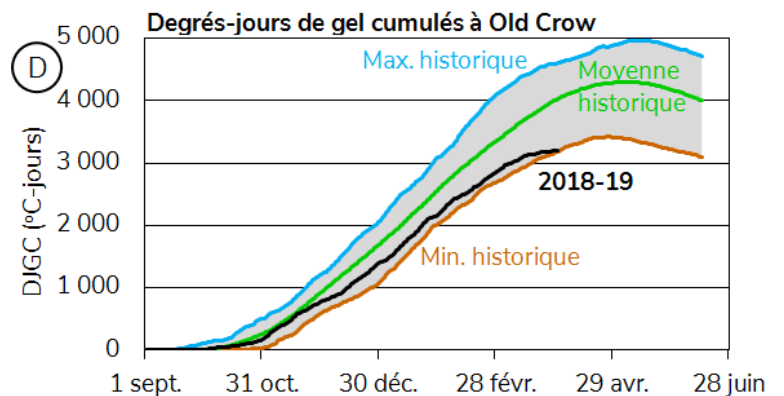
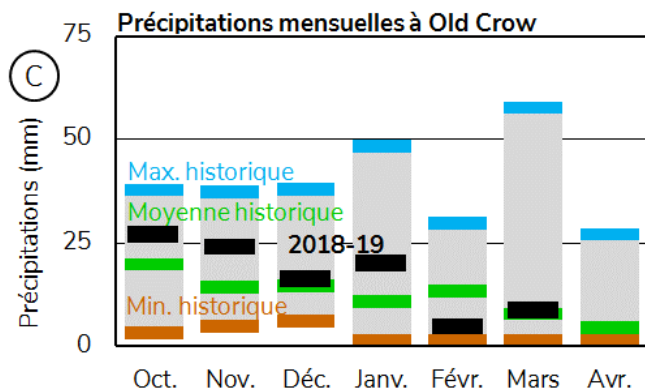


BASSIN DE LA RIVIÈRE PORCUPINE

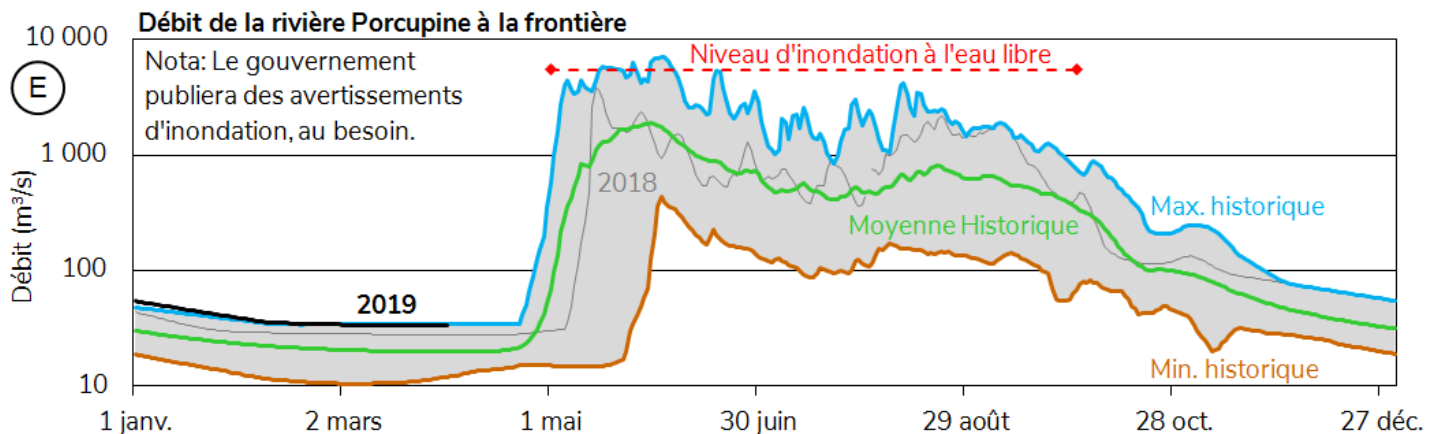
La moyenne de l'EEN dans le bassin de la rivière Porcupine est estimée à **108 %** de la **médiane historique**, soit **140 mm** en date du 1^{er} avril (figure B).



Les précipitations mensuelles enregistrées à Old Crow durant l'automne et l'hiver sont globalement **supérieures** aux valeurs mensuelles **moyennes**, mais légèrement **sous** la **moyenne** en mars (figure C). Les degrés-jours de gel cumulés (DJGC) sont bien **en deçà** de la **moyenne**, soit à 3 190 DJGC, ce qui correspond à un hiver **doux** (figure D). La couche de glace sur la rivière est probablement plus mince que la moyenne et elle n'a pas commencé à se dégrader.



Le débit estimé de la rivière Porcupine est actuellement bien **au-dessus** de la **moyenne historique** (figure E). Il est trop tôt dans la saison pour établir si les niveaux d'eau de **2019** seront élevés, mais l'accumulation de neige **supérieure** à la **moyenne** et le débit estimé portent à croire que le **volume de la crue printanière et les débits de pointe** pourraient être **supérieurs** à la **moyenne**. Il est aussi trop tôt pour prévoir le moment et l'intensité des débâcles printanières (données qui seront mises à jour régulièrement).



Bassin versant et profil de neige

Date d'échantillonnage : 2019-03-01

Nom	Numéro	Élévation (m)	Date du relevé	Épaisseur de la neige cette année (cm)	Contenu en eau (EEN) (mm)	Année dernière (mm)	Médiane historique EEN (mm)	N ^{bre} d'années de données
Bassin de la rivière Asek								
Canyon Lake	08AA-SC01	1160	3/26/2019	1.8	7	96	93	40
Alder Creek	08AA-SC02	768	3/27/2019	28	72	146	157	39
Aishihik Lake	08AA-SC03	945	3/26/2019	14	26	75	79	25
Haines Junction Farm	08AA-SC04	610	3/29/2019	0	0	76	96	19
Summit	08AB-SC03	1000	3/29/2019	70	194	180	256	39
Bassin du fleuve Yukon								
Tagish	09AA-SC01	1080	3/29/2019	26	64	160	147	43
Montana Mountain	09AA-SC02	1020	3/28/2019	20	53	144	142	42
Log Cabin (C.-B.)	09AA-SC03	884	3/26/2019	65	228	285	376	59
Atlin (C.-B.)	09AA-SC04	730	3/27/2019	0	0	75	118	54
Mt McIntyre B	09AB-SC01B	1097	3/28/2019	36	91	182	157	43
Whitehorse Airport	09AB-SC02	700	3/26/2019	15	42	124	102	52
Meadow Creek	09AD-SC01	1235	3/27/2019	62	140	228	280	42
Jordan Lake	09AD-SC02	930	3/27/2019	24	49	121	137	32
Morley Lake	09AE-SC01	824	3/27/2019	22	46	126	149	31
Mount Berdoe	09AH-SC01	1035	3/28/2019	12	23	135	110	43
Satasha Lake	09AH-SC03	1106	3/28/2019	0	0	91	100	32
Williams Creek	09AH-SC04	914	3/28/2019	17	29	96	101	24
Twin Creeks B	09BA-SC02B	900	3/26/2019	39	92	123	121	3
Hoole River	09BA-SC03	1036	3/27/2019	25	50	133	139	42
Burns Lake	09BA-SC04	1112	3/27/2019	64	152	158	222	33
Finlayson Airstrip	09BA-SC05	988	3/27/2019	33	79	118	106	32
Fuller Lake	09BB-SC03	1126	3/26/2019	57	103	124	195	32
Russell Lake	09BB-SC04	1060	3/26/2019	63	150	193	228	32
Rose Creek	09BC-SC01	1080	3/28/2019	15	30	113	111	25
Mount Nansen	09CA-SC01	1021	3/28/2019	14	25	77	80	43
MacIntosh	09CA-SC02	1160	3/28/2019	0	0	105	99	43
Burwash Airstrip	09CA-SC03	810	3/27/2019	0	0	54	42	42
Beaver Creek	09CB-SC01	655	3/27/2019	24	51	113	86	44
Chair Mountain	09CB-SC02	1067	3/27/2019	31	61	153	100	29
Casino Creek	09CD-SC01	1065	3/28/2019	47	73	202	129	41
Pelly Farm	09CD-SC03	472	3/30/2019	1.4	6	106	79	33
Plata Airstrip	09DA-SC01	830	3/26/2019	34	92	139	188	41
Withers Lake	09DB-SC01	975	3/26/2019	55	152	170	229	33
Rackla Lake	09DB-SC02	1040	3/26/2019	61	153	124	189	32

Code « E » – Estimé; code « B » – la date du relevé est en dehors de la plage d'échantillonnage valide.

Bassin versant et profil de neige

Date d'échantillonnage : 2019-03-01

Nom	Numéro	Élé- va- tion (m)	Date du relevé	Épais- seur de la neige cette année (cm)	Con- tenu en eau (mm)	Année der- nière (mm)	Conte- nu en eau moyen	N ^{bre} d'an- nées de don- nées
Bassin du fleuve Yukon								
Mayo Airport A	09DC-SC01A	540	3/28/2019	0	0	56	96	49
Mayo Airport B	09DC-SC01B	540	3/28/2019	0	0	64	103	31
Edwards Lake	09DC-SC02	830	3/26/2019	37	68	109	160	32
Calumet	09DD-SC01	1310	3/29/2019	44	95 E	172	195	40
King Solomon Dome	09EA-SC01	1080	3/29/2019	39	83	172	163	43
Grizzly Creek	09EA-SC02	975	4/1/2019	57	119	161	178	43
Midnight Dome	09EB-SC01	855	3/28/2019	49	109	161	154	44
Boundary (Alaska)	09EC-SC02	1005	3/28/2019	48	122	137	136	48
Bassin de la rivière Porcupine								
Riff's Ridge	09FA-SC01	650	4/1/2019	59	132	165	148	31
Eagle Plains	09FB-SC01	710	4/1/2019	77	185	178	166	35
Eagle River	09FB-SC02	340	4/1/2019	70	132	172	138	34
Old Crow	09FD-SC01	299	3/27/2019	71	140	130 E	120	37
Bassin de la rivière Liard								
Watson Lake Airport	10AA-SC01	685	3/28/2019	30	77	120	139	54
Tintina Airstrip	10AA-SC02	1067	3/27/2019	62	139	183	206	41
Pine Lake Airstrip	10AA-SC03	995	3/27/2019	54	144	172	223	43
Ford Lake	10AA-SC04	1110	3/27/2019	61	113	191	192	32
Frances River	10AB-SC01	730	3/27/2019	42	105	88	159	44
Hyland River	10AD-SC01	855	3/29/2019	56	148	121	177	42
Hyland River B	10AD-SC01B	880	3/29/2019	60	165	131	131	1
Bassin de la rivière Peel								
Blackstone River	10MA-SC01	920	4/1/2019	35	72	123	106	43
Ogilvie River	10MA-SC02	595	4/1/2019	51	102 E	102	107	41
Bonnet Plume Lake	10MB-SC01	1120	3/26/2019	54	109	125	178	32
Profils de neige en Alaska								
Eaglecrest	08AK-SC01	305	4/2/2019	51	163	203	495	37
Moore Creek Bridge	08AK-SC02	700	1/4/2019	76	269	191	517	26

Code « E » – Estimé; code « B » – la date du relevé est en dehors de la plage d'échantillonnage valide.

Emplacement des prélèvements aux fins d'établissement des profils de neige (ressources hydriques)

